

**INGENIERIA DE MATERIALES Y CONSTRUCCIÓN S. A. DE C. V.**

**PRESENTA**

**ESTUDIO DE MECANICA DE SUELOS**

**PROYECTO:**

**“UNIDAD COMUNITARIA DE SALUD FAMILIAR INTERMEDIA  
SANTIAGO TEXACUANGOS”  
ES0620200121-12.V1**

**UBICACIÓN:**

**Calle Ilopango No. 29, Barrio Concepción, nueva unidad terreno anexo al  
Polideportivo 3 km de la Ciudad de Santiago Texacuangos.  
Departamento de San Salvador**

**CLIENTE:**

**MINISTERIO DE SALUD**

San Salvador, 10 de febrero de 2020.

**COD: ES0620200121-12.V1**

**Señores:**  
**MINISTERIO DE SALUD**  
**Ing. Juan Carlos Guerrero**  
**Administrador de Contrato**  
**PRESENTE.**

Estimado Ingeniero:

Por este medio estamos presentando el Informe del Estudio de Mecánica de Suelos realizado el proyecto: **"UNIDAD COMUNITARIA DE SALUD FAMILIAR INTERMEDIA SANTIAGO TEXACUANGOS"**, el cual está ubicado en Calle Ilopango No. 29, Barrio Concepción, nueva unidad terreno anexo al Polideportivo 3 km de la Ciudad de Santiago Texacuangos. Departamento de San Salvador

Agradeciendo de antemano por la confianza depositada para la realización del presente estudio y con lo cual quedamos a sus apreciables órdenes para cualquier ampliación o consulta de los resultados obtenidos en el presente informe.

Atentamente:

  
Mauricio Cortez  
Ingeniero Civil



**INDICE:**

1.0 INTRODUCCIÓN.....	1
2.0 DESCRIPCIÓN DEL LUGAR.....	2
3.0 DESCRIPCIÓN DEL TRABAJO DE CAMPO.....	2
4.0 DESCRIPCIÓN DEL TRABAJO DE LABORATORIO.....	4
5.0 RESULTADOS OBTENIDOS.....	7
5.1 CLASIFICACIÓN DE SUELOS.....	7
5.2 CONTENIDOS DE HUMEDAD.....	8
5.3 VALOR DE N Y CORRECCIONES.....	9
5.4 CORRELACIONES DE PROPIEDADES MECÁNICAS.....	12
6.0 CONCLUSIONES GENERALES.....	17
6.1 CONTAMINACIÓN.....	17
6.2 BAJA RESISTENCIA A LA PENETRACIÓN.....	17
6.3 HUMEDAD.....	17
7.0 ANÁLISIS DE RESULTADOS.....	18
7.1 ANÁLISIS DE CAPACIDAD DE CARGA.....	18
8.0 RECOMENDACIONES.....	23

**ANEXOS**

ANEXO 1: HOJAS DE REGISTRO DE CAMPO.....	27
ANEXO 2: ESQUEMA DE UBICACIÓN DE SONDEOS.....	43
ANEXO 3: PERFIL ESTRATIGRÁFICOS.....	45
ANEXO 4: REGISTRO FOTOGRÁFICO.....	48
ANEXO 5: ENSAYO GRANULOMÉTRICO MÉTODO MECÁNICO ASTM D 422.....	57

ANEXO 6: MATERIAL MAS FINO QUE PASAN EL TAMIZ No. 200 EN SUELOS POR LAVADO ASTM D 1140.....	61
ANEXO 7: GRAVEDAD ESPECIFICA DE LOS SOLIDOS DE UN SUELO MÉTODO DEL PICNÓMETRO ASTM D 854.....	65
ANEXO 8: PERMEABILIDAD IN SITU.....	69
ANEXO 9: CUADRO RESUMEN.....	72



## 1.0 INTRODUCCIÓN

En el presente informe detallamos los resultados obtenidos del Estudio de Mecánica de Suelos realizado en el lugar del proyecto **"UNIDAD COMUNITARIA DE SALUD FAMILIAR INTERMEDIA SANTIAGO TEXACUANGOS"**, propiedad del Ministerio de Salud, ubicada en Calle Ilopango No. 29, Barrio Concepción, terreno anexo al Polideportivo 3 km de la Ciudad de Santiago Texacuangos. Departamento de San Salvador

El estudio de Mecánica de Suelos se realizó a solicitud del MINISTERIO DE SALUD, el objeto del presente, es determinar y obtener las condiciones del subsuelo entre las que podemos mencionar: estratigrafía, espesores, contenido de humedad, límites de Atterberg, profundidad de cimentación, napa freática y otros.

El trabajo se realizó con el objeto de determinar y representar las condiciones del subsuelo para la construcción de infraestructura de un nivel que funcionara como Unidad de Salud.

La investigación comprendió en la perforación de OCHO (8) sondeos exploratorios de Penetración Estándar (SPT). *Los sondeos de exploración fueron propuestos, solicitados e ubicados por el Cliente* como se muestra en el plano de ubicación de sondeos (ANEXO 2). Se encontró rechazo en todos los sondeos realizados, debido a que el equipo ya no pudo lograr avance alguno.

La profundidad de perforación fue:

- |                       |                       |
|-----------------------|-----------------------|
| a) Sondeo 1 = 7.00 ml | d) Sondeo 5 = 6.00 ml |
| B) Sondeo 2 = 7.50 ml | e) Sondeo 6 = 8.50 ml |
| b) Sondeo 3 = 7.00 ml | f) Sondeo 7 = 7.50 ml |
| c) Sondeo 4 = 8.50 ml | g) Sondeo 8 = 7.00 ml |

En total se perforaron 59.0 metros lineales.



### 2.0 DESCRIPCIÓN DEL LUGAR

El lugar del estudio está ubicado en la Ciudad de Santiago Texacuangos, contiguo al Polideportivo Municipal de Santiago Texacuangos. El terreno presenta una topografía heterogénea, de oriente a poniente se tiene un área a nivel, prácticamente plana. En sector poniente se tiene un talud que colinda con el Polideportivo.



Figura 1.0:

Ubicación del área donde se realizó el Estudio de Suelos.

Fuente: Google Maps.

### 3.0 DESCRIPCIÓN DEL TRABAJO DE CAMPO

El trabajo de campo comprendió en el trazo y la ubicación de OCHO (8.0) sondeos exploratorios. La perforación se realizó por medio de un motor marca ACKER y la instalación de un trípode. Básicamente se penetra una cuchara partida por medio de un Martillo (pesa) de 140 libras (63.5 Kg.) la cual es elevada y dejada caer a una altura de 30 pulgadas (76.2 cm). De manera constante se introduce la cuchara partida en el estrato



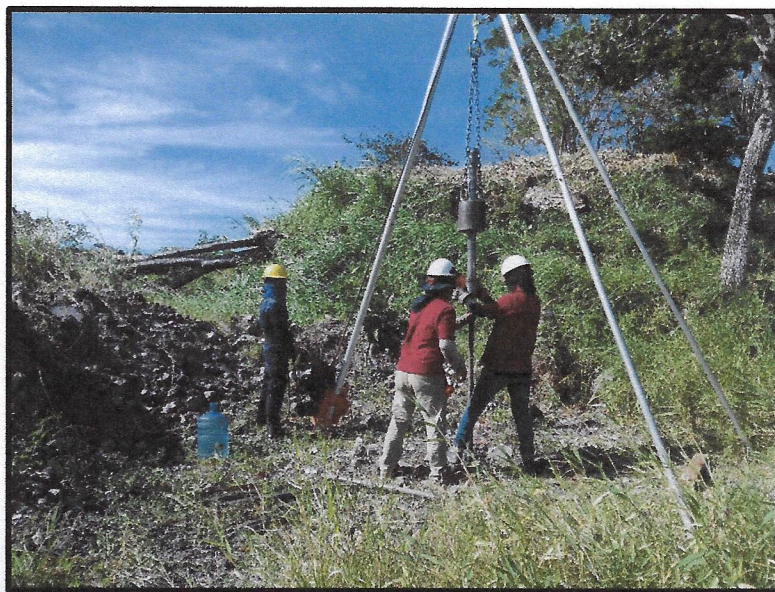
de suelo y se cuentan el número de golpes en tramos de 0.50 metros; los cuales se dividen en 0.2 metros y 0.30 metros. Los últimos 0.30 metros son los establecidos por la norma para conocer la cantidad de golpes comúnmente llamado N. Es habitual en nuestro medio dividir los 0.30 metros en dos secciones de 0.15 metros. Las características del muestreador o cuchara partida son las siguientes: el diámetro exterior es de 2 pulgadas (50.08 mm), diámetro interno de 1 3/8 pulgadas (34.92 mm) y una longitud de 28 pulgadas (711.2 mm). Una vez la cuchara partida es penetrada se procede a retirarla para obtención de la muestra de suelo. Se mide recuperación obtenida y se procede a colocar la muestra de suelo en un recipiente hermético para que no pierda su humedad natural. En el caso que la cuchara partida no pueda continuar el avance en el proceso de perforación se procede a realizar la Penetración con Punta Cónica (PPC), esto con el objetivo de tener y conocer la capacidad de carga del suelo. Con este procedimiento no es posible la toma de muestra, pero si es posible obtener la consistencia o compacidad del suelo. Todo el procedimiento es según la norma ASTM 1586 "Ensayo de Penetración Estándar y Muestreo de Suelos con Cuchara Partida".



Fotografía 1.0:

Cuchara partida y motor de perforación.





Fotografía 2.0:

Instalación de trípode de tubería de aluminio en Sondeo 3.

#### 4.0 DESCRIPCIÓN DEL TRABAJO DE LABORATORIO

Las muestras recuperadas en campo fueron analizadas en el laboratorio, efectuándose ensayos según lo establecen las normas ASTM:

##### 4.1 ASTM D 2216 DETERMINACIÓN DEL CONTENIDO DE AGUA (HUMEDAD) DE SUELOS Y ROCAS EN EL LABORATORIO, POR MASA

Se toma el peso de la tara y se toma una muestra de tamaño adecuado, considerando el tamaño máximo de la partícula. Se toma su peso húmedo más tara y son colocadas al horno a una temperatura constante a 110 °C. Luego se obtiene su peso seco y se determina el contenido de humedad a cada muestra tomada en campo.



### 4.2 ASTM D 2488 DESCRIPCIÓN E IDENTIFICACIÓN DE SUELO (PROCEDIMIENTO VISUAL – MANUAL)

La clasificación se basa en una inspección visual y ensayos aplicados manualmente a las muestras. La muestra de suelo es inspeccionada visualmente, descrita e identificada.

### 4.3 ASTM D 2487 CLASIFICACIÓN DE SUELOS PARA PROPÓSITOS DE INGENIERÍA (SISTEMA UNIFICADO DE CLASIFICACIÓN DE SUELOS)

La aplicación de esta norma cubre los suelos finos y gruesos, distinguiéndolos por el tamizado realizado a través de la malla No. 200 de las cuales las partículas gruesas son mayores a dicha malla y las finas menores. Por lo tanto, si más del 50% se retiene en la malla No. 200 se considera una arena. Si más del 50% pasa la malla No. 200 se considera un suelo fino. Encontramos a la vez detallada la carta de plasticidad de los suelos finos y con sus propiedades obtenidas del ensayo de límite líquido, límite plástico e índice de plasticidad podemos finalmente clasificar los suelos.

### 4.4 ASTM D 1140 MATERIAL MAS FINO QUE PASA EL TAMIZ No. 200 EN SUELOS POR LAVADO

Secamos la muestra en un horno a temperatura constante de 110 °C. Se pesa la muestra de suelo y luego es lavada con agua potable sobre la malla No. 200. El material que queda retenido en la malla No. 200 es colocado en una charola y metida al horno a temperatura constante de 110 °C. Luego se determina el peso de material que se ha retenido y se calcula el porcentaje de material que paso la malla No. 200. En base a este método determinamos si un suelo es arenoso o fino.

### 4.5 ASTM D 4318 LIMITE LIQUIDO, LIMITE PLÁSTICO E ÍNDICE DE PLASTICIDAD

Secamos la muestra y luego se tamiza el suelo por la malla No. 40. Se le agrega agua hasta obtener una pasta suave y espesa. Se procede a dejar en reposo. Una vez iniciamos el ensayo, para el límite líquido, colocamos una porción de la muestra en la copa Casagrande y con el ranurador se divide a la mitad. Se cuentan los golpes hasta que la división o abertura se cierre ½ pulgada y se anotan los datos. Se toma una muestra.



de suelo para obtener su contenido de humedad. Por medio del método A, establecido en la norma, realizamos varios puntos hasta que obtenemos la gráfica representativa del suelo. Para la obtención del límite plástico homogenizamos la muestra de suelo y hasta que se vuelva completamente plástica, tomamos una porción de la muestra con la mano y formamos un rollito de aproximadamente 1/8 de pulgada de diámetro, entre la mano y una superficie plana no absorbente. Una vez el suelo empieza a agrietarse, se toman los contenidos de humedad de dicho suelo.

#### 4.6 ASTM D 422 ANÁLISIS GRANULOMÉTRICO (MÉTODO MECÁNICO)

La muestra es secada y se toma una porción, una vez pesada se lava por la malla No. 200 y el suelo retenido es secado en el horno. Luego se tamiza el suelo por las mallas que especifica la norma y se obtienen sus porcentajes que pasan en cada malla.

#### 4.7 ASTM D 422 ANÁLISIS GRANULOMÉTRICO (MÉTODO DEL HIDRÓMETRO)

Este método de ensayo es aplicable cuando más del 50% de suelo pasa la malla No. 200, de tal manera que se considera un suelo fino. Una vez se tiene claro que el suelo es un Limo o una Arcilla se procede a obtener una muestra de 50.0 gramos de material tamizado por la malla No. 200. La solución dispersante o defloculante es preparada con Hexametáfosfato de Sodio al 4%, con agua destilada. El suelo es colocado en un beaker de 250 ml y se le agrega 125 ml de la solución dispersante, por un periodo de 24 horas. Una vez se cumple el tiempo se procede a la colocación de la muestra en el vaso, agregándosele agua destilada para evitar la pérdida de suelo. El vaso es llenado a  $\frac{3}{4}$  de su altura y luego es colocado en el mezclador o agitador eléctrico, por un tiempo de 1.0 minuto. Luego se coloca en una probeta de 1000 ml y es llenado con agua destilada, la muestra debe ser agitada por 1.0 minutos en plano vertical de 180 grados. Se coloca la probeta en un área firme, libre de toda vibración y se procede a realizar mediciones con el Hidrómetro (152H), en los tiempos especificados en la Norma de ensayo.



#### **4.8 ASTM D 854 GRAVEDAD ESPECIFICA DE LOS SOLIDOS DEL SUELO MÉTODO DEL PICNÓMETRO**

Se prepara una muestra de suelo seca al horno a una temperatura constante de 110 °C. Una vez la muestra se enfría a temperatura ambiente, se pesa y se coloca en el matraz o picnómetro. Previamente, el agua es desairada por medio del método sistema de vacío, utilizando una bomba de vacío de 3 CFM. Se calibra el matraz con agua destilada, se toma su peso y temperatura. Una vez desairada el agua se procede a colocar la muestra de suelo en el matraz o picnómetro, nuevamente la muestra de suelo + matraz + agua destilada es desairada por medio de la bomba de vacío. Este tiempo es de aproximadamente 15 a 30 minutos. Terminado el proceso de desairado, se afora el matraz con la muestra; se toma su peso y luego su temperatura. Finalmente se calcula la gravedad específica a la temperatura de ensayo y luego se corrige con el coeficiente de temperatura K, para presentarla a 20 °C.

#### **5.0 RESULTADOS OBTENIDOS**

##### **5.1 CLASIFICACIÓN DE SUELOS**

De las muestras obtenidas en campo, se realizó una clasificación de los diferentes tipos de suelos encontrados en el lugar donde se desarrolló el Estudio de Mecánica de Suelos. Los cuales están debidamente documentados (Ver ANEXO 1 HOJAS DE REGISTRO DE CAMPO), sin embargo a continuación se describe de forma general los tipos de suelos:

TABLA No. 1.0	
CLASIFICACIÓN DE SUELOS	
Clasificación	Descripción
SM	Arena Limosa
ML	Limo Arenoso No Plástica
SP-SM	Arena mal graduada con rastros de limos



En la siguiente Tabla se presenta los resultados obtenidos, de los ensayos realizados a los diferentes tipos de suelos detectados en el presente estudio:

TABLA No. 2.0							
RESULTADO DE ENSAYOS REALIZADOS							
Clasificación	ASTM D 422 / D 1140			ASTM D 4318			ASTM D 854
	Gravas	Arena	Finos	L. L.	L. P.	I. P.	Gs
SM	0.0	72.0	28.0	N/A	N/A	N/A	2.61
ML	0.0	32.0	68.0	N/A	N/A	N/A	2.52
SP-SM	0.0	91.0	9.0	N/A	N/A	N/A	2.63

Los suelos detectados en toda el área de estudio no tienen finos plásticos, de tal manera que los ensayos de límites líquidos y límite plásticos fueron No Practicables.

## 5.2 CONTENIDOS DE HUMEDAD

Las muestras recuperadas en campo fueron procesadas en el laboratorio para obtener su contenido de humedad natural del suelo, en base a la Norma ASTM S 2216. A continuación se presentan el valor máximo, mínimo y promedio para cada sondeo, los que se presentan en la siguiente Tabla:

TABLA No. 3.0							
VALORES MÁXIMOS, MÍNIMOS Y PROMEDIOS DE HUMEDAD							
Sonde No.	W% Máxima	Profundidad del estrato (m)		W% Mínima	Profundidad del estrato (m)		W% Promedio
S-1	31.1	1.0	- 1.5	17.5	5.0	- 5.5	22.1
S-2	31.7	1.0	- 1.5	14.9	5.5	- 6.0	23.4
S-3	37.5	1.5	- 2.0	12.6	0.0	- 0.5	24.5
S-4	33.2	4.0	- 4.5	15.3	7.0	- 7.5	25.0
S-5	25.2	1.5	- 2.0	11.0	0.0	- 0.5	17.9
S-6	24.3	0.5	- 1.0	13.5	0.0	- 0.5	20.4
S-7	36.7	3.0	- 3.5	13.6	0.0	- 0.5	27.3
S-8	31.8	0.5	- 1.0	16.6	5.0	- 5.5	22.1



### 5.3 VALOR DE N Y CORRECCIONES

De acuerdo con la norma ASTM D 1586 que rige el Ensayo de Penetración Estándar utilizando un martillo de 140 lb, el número de golpes necesarios para producir una penetración de 30 cm del muestreador partido se considera la resistencia a la penetración y ha sido denominado como "N".

Las discrepancias en la energía de perforación estimada, y su disipación alrededor del muestreador en el suelo circundante, son los principales factores que producen una amplia dispersión en los valores de N. La investigación ha revelado (Kovacs y Salomone, 1982) que la energía efectivamente transferida a la cabeza de la guía y luego al muestreador oscila el rango del 30% al 80%. Se sugirió que el SPT fuera estandarizado a una razón de energía dada, teniendo a la vista los datos recolectados de SPT. Bowles (1996) sugirió que el valor observado de N del SPT fuera reducido a un conteo estándar correspondiente al 70% de la energía teórica. Terzaghi, et al (1996) sugirió un 60%. La práctica estándar hoy en día en los Estados Unidos es expresar el valor de N a una razón de energía promedio del 60%. Por lo tanto, corregir los procedimientos de campo y sobre la base de observaciones de campo, resulta razonable estandarizar el valor N como una función de la energía impartida y de su disipación alrededor del muestreador en el suelo circundante de la siguiente manera:

$$N_{60} = \frac{N \eta_H \eta_B \eta_S \eta_R}{60}$$

Donde:

- $N_{60}$  : Número de penetración de campo corregido para condiciones de campo
- $N$  : Número de penetración medido
- $\eta_H$  : Eficiencia del martillo (%)
- $\eta_B$  : Corrección por el diámetro del agujero de perforación
- $\eta_S$  : Corrección por muestreador
- $\eta_R$  : Corrección por longitud del barrenaje

Basado en las recomendaciones de Seed, et al (1985) y Skempton (1986), las variaciones de  $\eta_H$ ,  $\eta_B$ ,  $\eta_S$  y  $\eta_R$  se resumen a continuación.



TABLA No. 4.0			
VARIACIONES EN LA EFICIENCIA DEL MARTILLO $\eta_H$			
País	Tipo de martillo	Liberación del martillo	$\eta_H$ (%)
Japón	Dona	Caída libre	78
	Dona	Lazo y polea	67
Estados Unidos	Seguridad	Lazo y polea	60
	Dona	Lazo y polea	45
Argentina	Dona	Lazo y polea	45
China	Dona	Caída libre	60
	Dona	Lazo y polea	50

TABLA No. 5.0		
CORRECCIÓN POR DIÁMETRO DEL AGUJERO DE PERFORACIÓN $\eta_B$		
Diámetro		$\eta_B$
mm	pulg	
60.0 - 120.0	2.4 - 4.7	1.0
150.0	6.0	1.05
200.0	8.0	1.15

TABLA No. 6.0	
CORRECCIÓN POR MUESTREADOR $\eta_S$	
Variable	$\eta_S$
Muestreador estándar	1.0
Con revestimiento para arenas y arcillas	0.8
Con revestimiento para arena suelta	0.9

TABLA No. 7.0	
CORRECCIÓN POR LONGITUD DE BARRENAJE $\eta_R$	
Longitud del barrenaje (m)	$\eta_R$
> 10	1.0
6 - 10	0.95
4 - 6	0.85
0 - 4	0.75



En los suelos granulares, el número de penetración estándar depende grandemente del esfuerzo vertical efectivo,  $\sigma'_v$ . La expresión empleada para determinar el factor de sobre carga efectiva es la siguiente:

$$C_N = 0.77 \log_{10} \left( \frac{40}{\sigma'_v} \right)^1$$

Donde:

$\sigma'_v$  : Esfuerzo efectivo vertical en ksf

El valor N corregido para suelos granulares es entonces:

$$N_{160} = C_N N_{60}$$

### 5.3.1 Aplicación de las correcciones a los Valores de N

A continuación, se tabulan los valores de "N" de campo y su correspondiente corrección a  $N_{160}$  para suelos granulares.

TABLA No. 8.0																
VALORES N DE CAMPO Y SU CORRECCIÓN																
PROF. (m)	S - 1		S - 2		S - 3		S - 4		S - 5		S - 6		S - 7		S - 8	
	N	N <sub>160</sub>	N	N <sub>160</sub>	N	N <sub>160</sub>	N	N <sub>160</sub>	N	N <sub>160</sub>	N	N <sub>160</sub>	N	N <sub>160</sub>	N	N <sub>160</sub>
0.0 - 0.5	10	5	19	10	18	10	18	10	13	7	14	7	22	12	8	4
0.5 - 1.0	14	7	9	5	11	6	11	6	21	11	14	7	9	5	10	5
1.0 - 1.5	14	7	9	5	8	4	6	3	16	9	18	10	6	3	21	11
1.5 - 2.0	20	11	14	7	8	4	4	2	8	4	20	11	4	2	25	14
2.0 - 2.5	19	14	16	12	10	8	8	6	15	11	20	15	6	4	22	17
2.5 - 3.0	22	16	17	12	17	13	8	6	15	11	35	26	9	6	28	20
3.0 - 3.5	22	15	24	17	22	16	8	5	16	11	29	20	9	6	28	20
3.5 - 4.0	23	15	24	16	18	12	12	8	26	18	31	21	11	7	30	20
4.0 - 4.5	29	22	26	19	32	24	17	13	53	40	32	24	17	13	27	20
4.5 - 5.0	29	21	30	22	19	14	26	19			28	20	20	15	30	21
5.0 - 5.5	27	19	26	18	40	29	37	27			31	22	20	14	43	30
5.5 - 6.0	46	31	26	18	38	26	29	20			39	26	32	22	50	34
6.0 - 6.5			24	18	75	56	37	28			41	30	40	30		
6.5 - 7.0			29	21			34	25			51	37	63	47		
7.0 - 7.5							51	37								

<sup>1</sup> Definición de  $C_N$  en la expresión 10.4.6.2.4-1 de la Sección 10: Cimentaciones, de AASHTO LRFD Bridge Design Specifications 2017  
 Pág. 17.



### 5.4 CORRELACIONES DE PROPIEDADES MECÁNICAS

Aunque el SPT no se considera un método completamente confiable y refinado para la investigación, los valores corregidos de  $N$  proporcionan información útil con respecto a la consistencia de los suelos cohesivos, y a la densidad relativa de los suelos sin cohesión.

#### 5.4.1 SUELOS COHESIVOS

La consistencia de los suelos arcillosos se puede estimar a partir del número de penetración estándar  $N_{60}$ . Para lograrlo, *Szechy y Vargi (1978)* calcularon el **Índice de Consistencia (CI)** como:

$$CI = \frac{LL - w}{LL - PL}$$

Donde:

- $CI$  : Índice de consistencia (consistency index)
- $w$  : Contenido de humedad natural
- $LL$  : Límite líquido
- $PL$  : Límite plástico (plastic limit)

La correlación aproximada entre  $CI$ ,  $N_{60}$  y el esfuerzo de compresión no confinada ( $q_u$ ) se muestra a continuación:

TABLA No. 9.0				
CORRELACIÓN APROXIMADA ENTRE $CI$ , $N_{60}$ Y $q_u$				
Número de penetración estándar, $N_{60}$	Consistencia	$CI$	Esfuerzo de compresión no confinada, $q_u$	
			kN/m <sup>2</sup>	lb/pie <sup>2</sup>
< 2	Muy blanda	< 0.5	< 25	< 500
2 – 8	Blanda a media	0.5 – 0.75	25 – 80	500 – 1,700
8 – 15	Firme	0.75 – 1.0	80 – 150	1,700 – 3,100
15 – 30	Muy firme	1.0 – 1.5	150 – 400	3,100 – 8,400
> 30	Dura	> 1.5	> 400	> 8,400



### 5.4.2 Suelos Granulares

La correlación entre  $N_{160}$  y la densidad relativa de suelos granulares sugerida por Peck, et al (1974) se muestra a continuación:

TABLA No. 10.0		
CORRELACIÓN ENTRE $N_{160}$ Y LA DENSIDAD RELATIVA		
$N_{160}$	Compacidad	Densidad Relativa, $D_r$ (%)
0 – 4	Muy suelta	0 – 15
5 – 10	Suelta	15 – 35
11 – 30	Semi-compacta	35 – 65
31 – 50	Compacta	65 – 85
> 50	Muy compacta	> 85

Meyerhof (1956) sugirió las siguientes expresiones aproximadas para calcular el ángulo de fricción interna a partir del valor conocido de densidad relativa:

Para suelo granular con arena fina y más del 5% de limos:

$$\phi_f = 25 + 0.15D_r$$

Para suelo granular con arena fina y menos del 5% de limos:

$$\phi_f = 30 + 0.15D_r$$

Donde:

$\phi_f$  : Ángulo de fricción interna drenado (°)

$D_r$  : Densidad relativa (%)

### 5.4.3 Estimación de las Propiedades Mecánicas del Suelo

De los trabajos de campo en conjunto con los de laboratorio central se han podido determinar, por medio de las correlaciones indicadas en las secciones 5.4.1, las propiedades mecánicas del suelo. La cohesión se ha idealizado como nula ( $c=0.0 \text{ T/m}^2$ ) debido a que los suelos muestreados carecen de plasticidad.



TABLA No. 11.1								
PROPIEDADES MECÁNICAS PARA SONDEO 1, SONDEO 2, SONDEO 3 Y SONDEO 4								
Prof. (m)	Sondeo - 1		Sondeo - 2		Sondeo - 3		Sondeo - 4	
	Peso Vol., γ (kg/m³)	Ángulo de fricción, φ	Peso Vol., γ (kg/m³)	Ángulo de fricción, φ	Peso Vol., γ (kg/m³)	Ángulo de fricción, φ	Peso Vol., γ (kg/m³)	Ángulo de fricción, φ
0.0 - 0.5	1100	27°	1100	27°	1100	27°	1100	26°
0.5 - 1.0	1200	28°	1100	27°	1100	27°	1100	26°
1.0 - 1.5	1200	28°	1100	27°	1100	27°	1100	26°
1.5 - 2.0	1200	30°	1200	27°	1100	27°	1100	26°
2.0 - 2.5	1200	31°	1200	30°	1100	27°	1100	28°
2.5 - 3.0	1300	31°	1200	30°	1200	31°	1100	28°
3.0 - 3.5	1300	31°	1300	31°	1200	31°	1100	28°
3.5 - 4.0	1300	31°	1300	31°	1200	31°	1200	28°
4.0 - 4.5	1300	32°	1300	32°	1200	31°	1200	32°
4.5 - 5.0	1300	32°	1300	32°	1200	31°	1300	32°
5.0 - 5.5	1300	32°	1300	32°	1400	33°	1300	32°
5.5 - 6.0	1500	34°	1300	32°	1400	33°	1300	32°
6.0 - 6.5			1300	32°	1800	38°	1400	33°
6.5 - 7.0			1300	32°			1400	33°
7.0 - 7.5							1600	35°

TABLA No. 11.2								
PROPIEDADES MECÁNICAS PARA SONDEO 5, SONDEO 6, SONDEO 7 Y SONDEO 8								
Prof. (m)	Sondeo - 5		Sondeo - 6		Sondeo - 7		Sondeo - 8	
	Peso Vol., γ (kg/m³)	Ángulo de fricción, φ	Peso Vol., γ (kg/m³)	Ángulo de fricción, φ	Peso Vol., γ (kg/m³)	Ángulo de fricción, φ	Peso Vol., γ (kg/m³)	Ángulo de fricción, φ
0.0 - 0.5	1200	28°	1200	28°	1100	26°	1100	27°
0.5 - 1.0	1200	28°	1200	28°	1100	26°	1100	27°
1.0 - 1.5	1200	28°	1200	30°	1100	26°	1300	31°
1.5 - 2.0	1200	28°	1200	30°	1100	26°	1300	31°
2.0 - 2.5	1200	30°	1200	30°	1100	26°	1300	31°
2.5 - 3.0	1200	30°	1300	32°	1100	28°	1300	32°
3.0 - 3.5	1200	30°	1300	32°	1100	28°	1300	32°
3.5 - 4.0	1300	32°	1300	32°	1200	28°	1300	32°
4.0 - 4.5	1600	36°	1300	32°	1200	31°	1300	32°
4.5 - 5.0			1300	32°	1200	31°	1300	32°
5.0 - 5.5			1400	32°	1200	31°	1500	34°
5.5 - 6.0			1400	32°	1400	31°	1500	35°
6.0 - 6.5			1500	34°	1400	34°		
6.5 - 7.0			1600	35°	1700	37°		



### 5.4.4 Otras propiedades mecánicas del suelo

Debido a que la naturaleza de los suelos detectados no es cohesiva es que no se estima el índice de compresibilidad de los suelos.

En cuanto al ángulo de dilatación (o dilatancia), que se refiere a la deformación volumétrica que se desarrolla mientras el suelo es sujeto a los esfuerzos de corte, para el caso de los suelos de este terreno se pueden considerar los siguientes ángulos  $\psi$ :

TABLA No. 12.0								
ÁNGULOS DE DILATANCIA $\psi$								
Prof. (m)	Sondeo No. 1	Sondeo No. 2	Sondeo No. 3	Sondeo No. 4	Sondeo No. 5	Sondeo No. 6	Sondeo No. 7	Sondeo No. 8
0.0 - 0.5	0°	0°	0°	0°	0°	0°	0°	0°
0.5 - 1.0	0°	0°	0°	0°	0°	0°	0°	0°
1.0 - 1.5	0°	0°	0°	0°	0°	0°	0°	1°
1.5 - 2.0	0°	0°	0°	0°	0°	0°	0°	1°
2.0 - 2.5	1°	0°	0°	0°	0°	0°	0°	1°
2.5 - 3.0	1°	0°	1°	0°	0°	2°	0°	2°
3.0 - 3.5	1°	1°	1°	0°	0°	2°	0°	2°
3.5 - 4.0	1°	1°	1°	0°	2°	2°	0°	2°
4.0 - 4.5	2°	2°	1°	2°	6°	2°	1°	2°
4.5 - 5.0	2°	2°	1°	2°		2°	1°	2°
5.0 - 5.5	2°	2°	3°	2°		2°	1°	4°
5.5 - 6.0	4°	2°	3°	2°		2°	1°	5°
6.0 - 6.5		2°	8°	3°		4°	4°	
6.5 - 7.0		2°		3°		5°	7°	
7.0 - 7.5				5°				

Los valores de módulo de elasticidad y de relación de Poisson, que se brindan a continuación, se han determinado conforme a las modificaciones del Departamento de Marina de los Estados Unidos después de *Bowles, 1988*<sup>2</sup>.

<sup>2</sup> Tabla C10.4.6.3-1 de la Sección 10: Cimentaciones, de AASHTO LRFD Bridge Design Specifications 2017. Pág. 20.



TABLA No. 13.1								
MODULO DE ELASTICIDAD Y RELACIÓN DE POISSON								
Prof. (m)	Sondeo No. 1		Sondeo No. 2		Sondeo No. 3		Sondeo No. 4	
	$E_s$ MPa	$\nu$	$E_s$ MPa	$\nu$	$E_s$ MPa	$\nu$	$E_s$ MPa	$\nu$
0.0 - 0.5	2.4	0.35	2.2	0.35	2.5	0.35	2.5	0.35
0.5 - 1.0	2.4	0.35	2.2	0.35	2.5	0.35	2.5	0.35
1.0 - 1.5	2.4	0.35	2.2	0.35	2.5	0.35	2.5	0.35
1.5 - 2.0	5.5	0.30	2.2	0.35	2.5	0.35	2.5	0.35
2.0 - 2.5	5.5	0.30	4.6	0.35	2.5	0.35	2.5	0.35
2.5 - 3.0	5.5	0.30	4.6	0.35	5.3	0.35	2.5	0.35
3.0 - 3.5	5.5	0.30	7.2	0.30	5.3	0.30	2.5	0.35
3.5 - 4.0	5.5	0.30	7.2	0.30	5.3	0.30	2.5	0.35
4.0 - 4.5	8.0	0.30	7.2	0.30	10.2	0.30	2.5	0.35
4.5 - 5.0	8.0	0.30	7.2	0.30	10.2	0.30	9.2	0.30
5.0 - 5.5	8.0	0.30	7.2	0.30	10.2	0.30	9.2	0.30
5.5 - 6.0	12.0	0.30	7.2	0.30	10.2	0.30	9.2	0.30
6.0 - 6.5			7.2	0.30	21.6	0.30	9.2	0.30
6.5 - 7.0			7.2	0.30			9.2	0.30
7.0 - 7.5							14.3	0.30

TABLA No. 13.2								
MODULO DE ELASTICIDAD Y RELACIÓN DE POISSON								
Prof. (m)	Sondeo No. 5		Sondeo No. 6		Sondeo No. 7		Sondeo No. 8	
	$E_s$ MPa	$\nu$	$E_s$ MPa	$\nu$	$E_s$ MPa	$\nu$	$E_s$ MPa	$\nu$
0.0 - 0.5	3.9	0.35	2.7	0.35	1.8	0.35	1.7	0.35
0.5 - 1.0	3.9	0.35	2.7	0.35	1.8	0.35	1.7	0.35
1.0 - 1.5	3.9	0.35	4.6	0.30	1.8	0.35	5.4	0.30
1.5 - 2.0	3.9	0.35	4.6	0.30	1.8	0.35	5.4	0.30
2.0 - 2.5	3.9	0.35	4.6	0.30	1.8	0.35	5.4	0.30
2.5 - 3.0	3.9	0.35	9.1	0.30	1.8	0.35	7.8	0.30
3.0 - 3.5	3.9	0.35	9.1	0.30	1.8	0.35	7.8	0.30
3.5 - 4.0	3.9	0.35	9.1	0.30	1.8	0.35	7.8	0.30
4.0 - 4.5	15.4	0.30	9.1	0.30	5.4	0.30	7.8	0.30
4.5 - 5.0			9.1	0.30	5.4	0.30	7.8	0.30
5.0 - 5.5			9.1	0.30	5.4	0.30	12.4	0.30
5.5 - 6.0			9.1	0.30	8.5	0.30	12.4	0.30
6.0 - 6.5			9.1	0.30	11.6	0.30		
6.5 - 7.0			14.3	0.30	18.1	0.30		



## 6.0 CONCLUSIONES GENERALES

En base a los resultados obtenidos en campo y los ensayos realizados, podemos concluir lo siguiente:

### 6.1 CONTAMINACIÓN

No se ha detectado ningún tipo de contaminación en los estratos atravesados. Sin embargo, debido a la vegetación existente en algunas áreas del terreno, se debe considerar un descapote de 0.40 metros.

### 6.2 BAJA RESISTENCIA A LA PENETRACIÓN

Se han presentado estratos de baja resistencia a la penetración como se resume a continuación:

TABLA No. 14.0	
ESTRATOS DE BAJA RESISTENCIA A LA PENETRACIÓN	
Número de Sondeo	Prof. de estratos de baja resistencia a la penetración (m)
1	0.0 – 0.5
2	0.5 – 1.5
3	1.0 – 2.5
4	1.0 – 3.5
5	1.5 – 2.0
6	NO SE PRESENTA
7	0.5 – 3.5
8	0.0 – 1.0

## 6.3 HUMEDAD

6.3.1 No se detectó nivel freático en los estratos atravesados.

6.3.2 En general las humedades se consideran de *normales* a *altas*, con un promedio de humedades máximas del 31.4%, mientras que el promedio total de humedades es del 22.9%.

6.3.3 La máxima humedad (37.5%) se ha encontrado en el sondeo No. 3 a una profundidad de 1.5 m a 2.0 m, en un estrato de arena limosa.



## 6.4 CONDICIONES DE RECHAZO

No se han detectado condiciones de rechazo ante la cuchara muestrera, no obstante, las altas resistencias que incrementan con la profundidad y la disminución de recuperación de muestra han obligado a cambiar la herramienta de avance por punta cónica, con lo cual se ha confirmado la continuidad de resistencia en profundidad.

## 7.0 ANÁLISIS DE RESULTADOS

Tomando en consideración los resultados obtenidos, se recomienda la implementación de un sistema de cimentación superficial a base de soleras y/o zapatas con tratamiento de suelos por debajo del nivel de desplante, para lo cual a continuación se desarrolla su respectivo análisis de capacidad de carga.

### 7.1 ANÁLISIS DE CAPACIDAD DE CARGA

7.1.1 Para la determinación de las capacidades de carga se han asumido las siguientes condiciones:

TABLA No. 15.0		
CONDICIONES ASUMIDAS PARA DETERMINAR LA CAPACIDAD DE CARGA ADMISIBLE		
Cimentación	Zapata aislada	Solera de fundación
Dimensiones (m)	1.2 x 1.2	0.4 x 4.0
Nivel de desplante (m)*	1.0	0.7
Esfuerzo de contacto (kg/cm <sup>2</sup> )**	1.0	0.75

\* Nivel de desplante en función del nivel brocal de las perforaciones.

\*\*No se consideran cargas excéntricas.

7.1.2 La estimación teórica de la capacidad de carga nominal del suelo se calculará con la siguiente expresión:

$$q_n = cN_c s_c i_c + \gamma D_f N_q s_q d_q i_q C_{wq} + 0.5 \gamma B N_\gamma s_\gamma i_\gamma C_{w\gamma}^3$$

<sup>3</sup> Munfakh, et al. (2001). Expresión 10.6.3.1.2a-1 de la Sección 10: Cimentaciones, de AASHTO LRFD Bridge Design Specifications 2017. Pág. 67.



Donde:

$q_n$	: Capacidad de carga nominal del suelo
$c$	: Cohesión no drenada
$N_c$	: Factor de capacidad de carga por cohesión
$N_q$	: Factor de capacidad de carga por sobrecarga
$N_\gamma$	: Factor de capacidad de carga por peso unitario
$\gamma$	: Peso unitario total
$D_f$	: Nivel de desplante
$B$	: Ancho de la zapata/solera
$C_{wq}, C_{w\gamma}$	: Factores de corrección por nivel freático
$s_c, s_q, s_\gamma$	: Factores de corrección por la forma de la zapata/solera
$d_q$	: Factor de profundidad
$i_c, i_q, i_\gamma$	: Factores de inclinación de carga

**7.1.3** El factor de resistencia empleado, por diseño de estados límite para cimentaciones superficiales, será  $\phi_b = 0.45$ . Este factor coincide con el método teórico en arenas empleando SPT, establecido por *Munfakh et al. (2001)*; y con los métodos semi-empíricos en todo tipo de suelos, establecido por *Meyerhof (1957)*<sup>4</sup>. Por lo tanto, la resistencia factorizada,  $q_R$ , al estado límite de esfuerzos será:

$$q_R = \phi_b q_n^5$$

**7.1.4** Éste análisis considera que las cargas a las cuales se somete la cimentación, son perpendiculares a su superficie de apoyo, esto implica que la carga no cuenta con ningún ángulo de inclinación, y por ende  $i_c, i_q, i_\gamma = 1$ .

**7.1.5** El factor de profundidad, o factor de corrección por resistencia al corte del material que se encuentra por encima del nivel de desplante, se debería de emplear solo cuando los suelos por encima del nivel de desplante son tan competentes como el suelo que se encuentra por debajo del nivel de análisis. Para este análisis no se considera la contribución del efecto de la profundidad, por lo que  $d_q = 1$ .

<sup>4</sup> Tabla 10.5.5.2.2-1 de la Sección 10: Cimentaciones, de AASHTO LRFD Bridge Design Specifications 2017. Pág. 41.

<sup>5</sup> Expresión 10.6.3.1.1-1 de la Sección 10: Cimentaciones, de AASHTO LRFD Bridge Design Specifications 2017. Pág. 66.



**7.1.6** Los factores de corrección por nivel freático se consideran  $C_{wq}, C_{wy} = 1$ , en vista de que durante esta exploración de suelos no se ha detectado el nivel freático.

**7.1.7** Uno de los aspectos relevantes para la evaluación de capacidades de carga, es el modo de falla que se estima que se presente en el suelo, lo cual está en función de sus condiciones de densidad relativa ( $D_r$ ) y de la relación existente entre la profundidad de desplante y el ancho de la cimentación ( $D_f/B$ ), pudiéndose presentar falla por punzonamiento, falla local por corte o falla general por corte. Para este estudio, se han estimado los modos de falla en las diferentes profundidades analizadas.

Cuando se determina la posibilidad de falla por punzonamiento o de falla local por corte, la capacidad de carga nominal del suelo se ha estimado empleando los siguientes parámetros de esfuerzo:

$$c^* = 0.67c$$

$$\phi^* = \tan^{-1}(0.67 \tan \phi_f)$$

Donde:

$c^*$  : Cohesión del suelo de esfuerzo efectivo reducido

$\phi^*$  : Ángulo de fricción de esfuerzo efectivo reducido

**7.1.8** Este análisis no considera la ubicación de cimentaciones adyacentes a taludes o sobre taludes.

**7.1.9** A continuación, se presentan las capacidades de carga admisibles calculadas:

TABLA No. 16.1				
CAPACIDAD DE CARGA ADMISIBLE PARA SONDEO 1 Y SONDEO 2				
Zona de sondeos	Sondeo No. 1		Sondeo No. 2	
Cimentación	Zapata aislada	Solera de fundación	Zapata aislada	Solera de fundación
Profundidad de excavación bajo nivel de terreno natural (m)	1.5	1.5	3.0	3.0
Capacidad de carga admisible (kg/cm <sup>2</sup> )	1.2	0.8	1.9	1.4



TABLA No. 16.2				
CAPACIDAD DE CARGA ADMISIBLE PARA SONDEO 3 Y SONDEO 4				
Zona de sondeos	Sondeo No. 3		Sondeo No. 4	
Cimentación	Zapata aislada	Solera de fundación	Zapata aislada	Solera de fundación
Profundidad de excavación bajo nivel de terreno natural (m)	3.0	3.0	3.5	3.5
<b>Capacidad de carga admisible (kg/cm<sup>2</sup>)</b>	<b>1.9</b>	<b>1.4</b>	<b>1.6</b>	<b>1.2</b>

TABLA No. 16.3				
CAPACIDAD DE CARGA ADMISIBLE PARA SONDEO 5 Y SONDEO 6				
Zona de sondeos	Sondeo No. 5		Sondeo No. 6	
Cimentación	Zapata aislada	Solera de fundación	Zapata aislada	Solera de fundación
Profundidad de excavación bajo nivel de terreno natural (m)	2.0	2.0	1.5	1.5
<b>Capacidad de carga admisible (kg/cm<sup>2</sup>)</b>	<b>1.4</b>	<b>1.1</b>	<b>1.2</b>	<b>0.9</b>

TABLA No. 16.4				
CAPACIDAD DE CARGA ADMISIBLE PARA SONDEO 7 Y SONDEO 8				
Zona de sondeos	Sondeo No. 7		Sondeo No. 8	
Cimentación	Zapata aislada	Solera de fundación	Zapata aislada	Solera de fundación
Profundidad de excavación bajo nivel de terreno natural (m)	3.5	3.5	1.5	1.5
<b>Capacidad de carga admisible (kg/cm<sup>2</sup>)</b>	<b>1.6</b>	<b>1.2</b>	<b>1.2</b>	<b>0.9</b>

**7.1.10** Es de suma importancia tomar en cuenta que estas capacidades de carga admisibles calculadas están en función de la sobrecarga efectiva de suelo sobre la cimentación, por lo tanto, cualquier modificación en los niveles del terreno o de los niveles de desplante asumidos, cambiarán los valores de capacidades de carga antes presentados.



7.1.11 A continuación, se presentan las capacidades de carga admisibles en función de la profundidad:

TABLA No. 17.1								
CAPACIDAD DE CARGA ADMISIBLE A DIFERENTES PROFUNDIDADES								
Capacidades de carga admisibles por sondeo (kg/cm <sup>2</sup> )								
Prof. (m)	Sondeo No. 1		Sondeo No. 2		Sondeo No. 3		Sondeo No. 4	
	Zapatas	Soleras	Zapatas	Soleras	Zapatas	Soleras	Zapatas	Soleras
0.7	-	0.4	-	0.3	-	0.3	-	0.3
1.0	0.7	0.5	0.6	0.4	0.6	0.4	0.6	0.4
1.5	1.2	0.8	0.8	0.6	0.8	0.6	0.8	0.6
2.0	1.4	1.0	1.4	1.0	0.9	0.7	1.0	0.8
2.5	1.7	1.3	1.6	1.2	1.6	1.2	1.2	0.9
3.0	2.0	1.5	1.9	1.4	1.9	1.4	1.4	1.1
3.5	2.3	1.7	2.2	1.6	2.1	1.6	1.6	1.2
4.0	2.9	2.1	2.8	2.0	2.4	1.8	2.6	1.9
4.5	3.2	2.3	3.1	2.3	2.7	2.0	3.0	2.2
5.0	3.5	2.6	3.4	2.5	3.8	2.7	3.3	2.4
5.5	5.0	3.6	3.8	2.8	4.2	3.0	3.6	2.6
6.0			4.1	3.0	7.6	5.2	4.5	3.2
6.5			4.4	3.2			4.9	3.5
7.0							6.8	4.8

TABLA No. 17.2								
CAPACIDAD DE CARGA ADMISIBLE A DIFERENTES PROFUNDIDADES								
Capacidades de carga admisibles por sondeo (kg/cm <sup>2</sup> )								
Prof. (m)	Sondeo No. 5		Sondeo No. 6		Sondeo No. 7		Sondeo No. 8	
	Zapatas	Soleras	Zapatas	Soleras	Zapatas	Soleras	Zapatas	Soleras
0.7	-	0.4	-	0.4	-	0.3	-	0.3
1.0	0.7	0.5	0.9	0.7	0.6	0.4	0.9	0.6
1.5	0.9	0.7	1.2	0.9	0.8	0.6	1.2	0.9
2.0	1.4	1.1	1.4	1.1	0.9	0.7	1.5	1.1
2.5	1.7	1.3	2.0	1.4	1.2	0.9	2.0	1.4
3.0	2.0	1.5	2.3	1.6	1.4	1.1	2.3	1.7
3.5	2.5	1.8	2.6	1.9	1.6	1.2	2.6	1.9
4.0	4.3	3.0	2.9	2.1	2.4	1.7	2.9	2.1
4.5			3.2	2.4	2.6	1.9	3.2	2.4
5.0			3.6	2.6	2.9	2.1	4.6	3.3
5.5			3.9	2.9	3.2	2.4	5.8	4.1
6.0			5.5	3.9	5.0	3.6		
6.5			6.8	4.8	7.1	5.0		



### 8.0 RECOMENDACIONES

**8.1** Se recomienda implementar cimentaciones superficiales a base de zapatas y/o soleras con tratamiento de suelos por debajo de su nivel de desplante como se indica en la sección 7.1.9, Tablas 16.1, 16.2, 16.3 y 16.4. El tratamiento consistirá en suelo cemento como se detalla en 8.3 o puede ser también con lodocreto como se indica en 8.4.

**8.2** No será necesario proporcionar un sobre ancho a la sobre excavación, salvo que sea necesario por procesos constructivos. Las capacidades de carga factorizadas, han sido calculadas asumiendo que el área de tratamiento de suelo, es igual al área de las cimentaciones establecidas en sección 7.1.1, en la Tabla 15.0.

**8.3** Compactaciones de Suelo Cemento.

La proporción del suelo cemento será al 5% (19 partes de suelo + 1 parte de cemento). Las compactaciones deberán alcanzar al menos el 95% de la densidad seca máxima determinada de su correspondiente ensayo Proctor AASHTO T134 (en su versión más reciente). La humedad del suelo deberá ser cercana a la humedad óptima en  $\pm 2\%$ . El equipo a utilizar será mecánico, tipo vibrocompactadores (bailarinas), sobre capas de 0.15 m (espesor ya compactado). Una vez incorporado el cemento al suelo, no deberán transcurrir más de dos horas antes de finalizada la compactación de la capa.

El suelo que se utilice para las compactaciones debe ser sano, libre de orgánicos, libre de plasticidad y libre de cualquier tipo de contaminación. El tipo de material que se recomienda emplear para la mezcla, son suelos que se clasifiquen por el método visual manual (ASTM D2488) como arenas limosas (SM) con finos de nula plasticidad, con un contenido máximo de arenas del 75%. A pesar de que en general las mezclas de estos tipos de suelos con cemento resultan ser impermeables como es lo esperado, hay evidencias de que ciertos tipos de arenas limosas no son satisfactorias a los procesos de saturación. Es por esta razón que se recomienda que las mezclas de suelo cemento sean ensayadas bajo la norma ASTM D1633 Método A, con el fin único de evaluar su comportamiento durante el proceso de



saturación. Si la mezcla no es satisfactoria al proceso de saturación, se deberá determinar una dosificación que sí lo haga o en todo caso cambiar la fuente de suelo.

### 8.4 Suelo Cemento Fluido (Lodocreto).

Alternativamente, las sobre excavaciones se podrán rellenar con lodocreto, en una proporción del 8% (lo que indica 11½ partes de suelo por 1 parte de cemento). El círculo de MRBC se debe ejecutar conforme a ASTM D6103 y debe oscilar entre 8" y 12". Además, se deberá procurar una resistencia mínima a la compresión conforme a ASTM D4832 de 10 kg/cm<sup>2</sup> a los 28 días. Para esta actividad se empleará la misma clasificación de suelos descrita en el numeral anterior.

### 8.5 Deben evitarse escurrimientos superficiales nocivos, empozamientos o filtraciones de cualquier tipo, tanto dentro como fuera de las áreas de excavación para cimentaciones, debido a que los suelos de matriz granular tienden a perder la capacidad al corte cuando se saturan. Por lo tanto, se considera necesario dejar un sistema de drenaje para aguas lluvias que evite estancamientos.

### 8.6 Compactaciones con suelo natural.

El suelo natural será compactado al 95% de la densidad seca máxima determinada con el ensayo Proctor AASHTO T 180 (en su versión más reciente). La humedad de compactación en campo deberá estar cercana a la humedad óptima en  $\pm 2\%$ , respecto a la humedad obtenida en el ensayo de laboratorio. Se recomienda utilizar material de préstamo tales como arena limosa (SM) o limos arenosos (ML) de nula plasticidad.

### 8.7 Para los drenajes de aguas lluvias se recomienda la utilización de tubería flexible PVC. Para la excavaciones de las tuberías se deberá considerar una profundidad mínima de 0.50 m. La cama de agua deberá ser compactada con material de préstamo, según lo descrito en el literal 8.6, con un espesor mínimo de 0.30 m. El Ancho de la excavación debe ser al menos 1.25 veces el diámetro de la tubería a colocar o en su defecto permitir el ingreso del ancho de la zapata de una compactadora. Los sistemas de abastecimiento y de drenaje deberán regirse bajo la norma ASTM D 2321.



- 8.8 Para el descapote se recomienda realizar un corte y desalojo de 0.40 metros, en toda el área del terreno.
- 8.9 Para las áreas donde se instalaran los sistemas de pisos y parqueos, se recomienda una restitución de 0.55 m. Compactando la primera capa con 0.30 m de suelo natural, según se describe en el literal 8.6. Sobre la capa de suelo natural se colocara suelo cemento con un espesor de 0.25 m, compactado como se describe en el literal 8.3.
- 8.10 En el ANEXO 8 se presentan los valores obtenidos del ensayo de permeabilidad in situ. Sin embargo, debido a que los suelos están compactos a muy compactos, el suelo es prácticamente impermeable.

Consideramos que la validez de nuestras recomendaciones en lo relativo a la cimentación, están sujetas a una inspección de las operaciones por parte de nuestra empresa o por un Ingeniero Geotécnico para prevenir o atender cualquier imprevisto que pudiera surgir durante el desarrollo del proyecto.

Es importante mencionar que toda exploración de suelos, brinda una perspectiva panorámica de las condiciones subyacentes del terreno bajo investigación. Todo tipo de exploración de suelos tiene sus propias limitantes, ya sea por el alcance del servicio (por ejemplo: profundidad de perforación, número de sondeos, distribución de sondeos, entre otros), por la propia metodología de la exploración (medios rotativos, a percusión, geofísicos, etc.), periodo en el que se realizan los trabajos de campo, limitantes contractuales y muchos otros. En vista de lo anterior, un informe de estudio de mecánica de suelos, no representa en sí, condiciones perpetuas o invariables de la masa de suelo bajo un terreno. Tampoco garantiza condiciones homogéneas o interpolaciones exactas de un área delimitada, de hecho, un perfil estratigráfico, es solo una propuesta de la tendencia de los estratos encontrados puntualmente por cada sondeo, y no garantiza que esa sea la configuración exacta y natural de los estratos.

Uno de los factores que pueden generar divergencias sustancialmente significativas entre las exploraciones de suelos, es la condición de humedad. Este factor puede generar cambios drásticos de resistencia, sobre todo en suelos cohesivos, y a su vez la

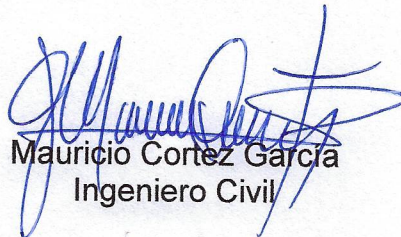


humedad determinada en los suelos, está en función del momento en el que se realiza la exploración. Este último factor también puede afectar la detección de niveles freáticos, ya que éstos no permanecen estáticos, más bien son variables con respecto a otro sinfín de factores. Por lo que en una exploración se puede encontrar el nivel freático a cierta profundidad, y más adelante en el tiempo encontrarse a otro nivel significativamente diferente; o incluso no ser detectado en una exploración inicial y luego encontrarse con su presencia más adelante, o viceversa. Una exploración más rigurosa, con mayores profundidades de perforación u otros medios de recuperación de muestras podrían disminuir el grado de incertidumbre.

Sin otro particular esta firma queda a las órdenes del MINISTERIO DE SALUD para aclarar dudas respecto a los conceptos que se proporcionan en este informe.

Atentamente,

Por INGMAC, S. A. DE C. V.

  
Mauricio Cortez García  
Ingeniero Civil



**ANEXO 1  
HOJAS DE REGISTRO DE CAMPO**



# INGENIERÍA DE MATERIALES Y CONSTRUCCIÓN S.A. DE C.V.

## Control de Calidad - Construcción - Supervisión

Col. Santa Matilde C. Castro Moran y C. Las Mercedes No. 91, Final Avenida Bernal, Mejicanos,  
San Salvador, El Salvador. Tel.: (503) 2523-4383 / Cel. (503) 7477-9865  
ingenieriademateriales@yahoo.com

### REGISTRO DE CAMPO - EXPLORACION SUBSUPERFICIAL

SONDEO No.: **1**

Proyecto: **U. C. S. F. INTERMEDIA SANTIAGO TEXACUANGOS** Fecha: **26/01/2020**  
Localización: **C. Ilopango # 9, Bo. Concepción, T. anexo al Polideportivo de Santiago Texacuangos** Departamento: **San Salvador**  
Codigo: **ES0620200121-12** Herramienta de Avance: **PENETRACION ESTANDAR** Herramienta de Muestreo: **CUCHARA PARTIDA**  
Peso del Martillo: **140 lb** Altura de Caída: **30 pulg** Estructura: **Varias** Nivel Freático: **N/A**  
Cuadrilla: **Aguilar - Nolasco - Rodriguez** Elev. Brocal: **000.0**

MUESTRA No.	PROF. (m)	PROF. ACUM (m)	RESISTENCIA A LA PENETRACION				N	CONSISTENCIA O COMPACIDAD RELATIVA	HUMEDAD (%)	CLASIFICACION	SIMBOLOGIA
			RECUPERACION (cm)	SET 1 (20cm)	SET 2 (15cm)	SET 3 (15cm)					
1.0	0.5	0.20	22	7			10	SUELTO	25.0	Arena limosa	SM
		0.35			5					color café claro	
		0.50				5					
2.0	1.0	0.70	17	6			14	SEMI-COMPACTA	26.4	" " "	
		0.85			7						
		1.00				7					
3.0	1.5	1.20	27	8			14	SEMI-COMPACTA	31.1	" " "	
		1.35			6						
		1.50				8					
4.0	2.0	1.70	17	11			20	SEMI-COMPACTA	23.3	" " "	
		1.85			10						
		2.00				10					
5.0	2.5	2.20	14	13			19	SEMI-COMPACTA	23.2	" " "	
		2.35			10						
		2.50				9					
6.0	3.0	2.70	20	15			22	SEMI-COMPACTA	20.2	" " "	
		2.85			11						
		3.00				11					
7.0	3.5	3.20	20	11			22	SEMI-COMPACTA	21.9	" " "	
		3.35			11						
		3.50				11					
8.0	4.0	3.70	20	20			23	SEMI-COMPACTA	18.7	" " "	
		3.85			11						
		4.00				12					
9.0	4.5	4.20	23	16			29	SEMI-COMPACTA	19.7	" " "	
		4.35			14						
		4.50				15					
10.0	5.0	4.70	8	18			29	SEMI-COMPACTA	19.1	" " "	
		4.85			13						
		5.00				16					
11.0	5.5	5.20	16	16			27	SEMI-COMPACTA	17.5	" " "	
		5.35			13						
		5.50				14					
12.0	6.0	5.70	31	19			46	COMPACTA	18.6	" " "	
		5.85			19						
		6.00				27					

FS0620200121-12 V1

INGMAC S.A. DE C.V.  
Control de Calidad- Construcción- Supervisión  
Tel. 2523-4383

ES0620200121-12.V1

28 DE 76

**INGMAC S.A. DE C.V.**  
Control de Calidad - Construcción - Supervisión  
Tel. 2523-4383



# INGENIERÍA DE MATERIALES Y CONSTRUCCIÓN S.A. DE C.V.

## Control de Calidad - Construcción - Supervisión

Col. Santa Matilde C. Castro Moran y C. Las Mercedes No. 91, Final Avenida Bernal, Mejicanos,  
San Salvador, El Salvador. Tel.: (503) 2523-4383 / Cel. (503) 7477-9865  
ingenieriademateriales@yahoo.com

### REGISTRO DE CAMPO - EXPLORACION SUBSUPERFICIAL

SONDEO No.: 1

Hoja: 2 / 2

Proyecto: U. C. S. F. INTERMEDIA SANTIAGO TEXACUANGOS Fecha: 26/01/2020  
Localización: C. Ilopango # 9, Bo. Concepción, T. anexo al Polideportivo de Santiago Texacuangos Departamento: San Salvador  
Codigo: ES0620200121-12 Herramienta de Avance: PENETRACION ESTANDAR Herramienta de Muestreo: CUCHARA PARTIDA  
Peso del Martillo: 140 lb Altura de Caída: 30 pulg Estructura: Varias Nivel Freático: N/A  
Cuadrilla: Aguilar - Nolasco - Rodriguez Elev. Brocal: 000.0

MUESTRA No.	PROF. (m)	PROF. ACUM (m)	RESISTENCIA A LA PENETRACION				N	CONSISTENCIA O COMPACIDAD RELATIVA	HUMEDAD (%)	CLASIFICACION	SIMBOLOGIA
			RECUPE- RACION (cm)	SET 1 (20cm)	SET 2 (15cm)	SET 3 (15cm)					
	6.5	6.20		19			70	MUY COMPACTA		Penetración con punta cónica.	PP
		6.35			30						
		6.50				40					
		6.70		27							
	7.0	6.85			52		102	MUY COMPACTA		" " "	
		7.00				50					

**INGMAC S.A. DE C.V.**  
Control de Calidad - Construcción - Supervisión  
Tel. 2523-4383



# INGENIERÍA DE MATERIALES Y CONSTRUCCIÓN S.A. DE C.V.

## Control de Calidad - Construcción - Supervisión

Col. Santa Matilde C. Castro Moran y C. Las Mercedes No. 91, Final Avenida Bernal, Mejicanos,  
San Salvador, El Salvador. Tel.: (503) 2523-4383 / Cel. (503) 7477-9865  
ingenieriamateriales@yahoo.com

### REGISTRO DE CAMPO - EXPLORACION SUBSUPERFICIAL

SONDEO No.: 2

Proyecto: U. C. S. F. INTERRMEDIA SANTIAGO TEXACUANGOS Fecha: 26/01/2020  
Localización: C. Ilopango # 9, Bo. Concepción, T. anexo al Polideportivo de Santiago Texacuangos Departamento: San Salvador  
Codigo: ES0620200121-12 Herramienta de Avance: PENETRACION ESTANDAR Herramienta de Muestreo: CUCHARA PARTIDA  
Peso del Martillo: 140 lb Altura de Caída: 30 pulg Estructura: Varias Nivel Freático: N/A  
Cuadrilla: Aguilar - Nolasco - Rodriguez Elev. Brocal: 000.0

MUESTRA No.	PROF. (m)	PROF. ACUM (m)	RESISTENCIA A LA PENETRACION				N	CONSISTENCIA O COMPACIDAD RELATIVA	HUMEDAD (%)	CLASIFICACION	SIMBOLOGIA
			RECUPE- RACION (cm)	SET 1 (20cm)	SET 2 (15cm)	SET 3 (15cm)					
1.0	0.5	0.20	22	15			19	SEMI-COMPACTA	16.7	Arena limosa	SM
		0.35			11					color café claro	
		0.50				8					
2.0	1.0	0.70	13	7			9	SUELTO	21.8		
		0.85			5					" " "	
		1.00				4					
3.0	1.5	1.20	19	5			9	FIRME	31.7	Limo arenoso	ML
		1.35			4					color café claro	
		1.50				5					
4.0	2.0	1.70	17	9			14	SEMI-COMPACTA	27.9	Arena limosa	
		1.85			6					color café claro	
		2.00				8					
5.0	2.5	2.20	7	12			16	SEMI-COMPACTA	24.5		
		2.35			8					" " "	
		2.50				8					
6.0	3.0	2.70	16	12			17	SEMI-COMPACTA	26.1		
		2.85			8					" " "	
		3.00				9					
7.0	3.5	3.20	17	12			24	SEMI-COMPACTA	27.5		
		3.35			9					" " "	
		3.50				15					
8.0	4.0	3.70	18	19			24	SEMI-COMPACTA	19.8		SM
		3.85			11					" " "	
		4.00				13					
9.0	4.5	4.20	10	13			26	SEMI-COMPACTA	20.7		
		4.35			13					" " "	
		4.50				13					
10.0	5.0	4.70	12	18			30	SEMI-COMPACTA	21.7		
		4.85			16					" " "	
		5.00				14					
11.0	5.5	5.20	15	17			26	SEMI-COMPACTA	14.9		
		5.35			13					" " "	
		5.50				13					
12.0	6.0	5.70	14	15			26	SEMI-COMPACTA	21.1		
		5.85			14					" " "	
		6.00				12					

ES0620200121-12.V1

30 DE 76

**INGMAC S.A. DE C.V.**  
Control de Calidad - Construcción - Supervisión  
Tel. 2523-4383



# INGENIERÍA DE MATERIALES Y CONSTRUCCIÓN S.A. DE C.V.

## Control de Calidad - Construcción - Supervisión

Col. Santa Matilde C. Castro Moran y C. Las Mercedes No. 91, Final Avenida Bernal, Mejicanos,  
San Salvador, El Salvador. Tel.: (503) 2523-4383 / Cel. (503) 7477-9865  
ingenieriademateriales@yahoo.com

### REGISTRO DE CAMPO - EXPLORACION SUBSUPERFICIAL

SONDEO No.: 2

Hoja: 2 / 2

Proyecto: U. C. S. F. INTERMEDIA SANTIAGO TEXACUANGOS Fecha: 26/01/2020  
Localización: C. Ilopango # 9, Bo. Concepción, T. anexo al Polideportivo de Santiago Texacuangos Departamento: San Salvador  
Codigo: ES0620200121-12 Herramienta de Avance: PENETRACION ESTANDAR Herramienta de Muestreo: CUCHARA PARTIDA  
Peso del Martillo: 140 lb Altura de Caída: 30 pulg Estructura: Varias Nivel Freático: N/A  
Cuadrilla: Aguilar - Nolasco - Rodriguez Elev. Brocal: 000.0

MUESTRA No.	PROF. (m)	PROF. ACUM (m)	RESISTENCIA A LA PENETRACION				N	CONSISTENCIA O COMPACIDAD RELATIVA	HUMEDAD (%)	CLASIFICACION	SIMBOLOGIA
			RECUPE- RACION (cm)	SET 1 (20cm)	SET 2 (15cm)	SET 3 (15cm)					
13.0	6.5	6.20	10	14			24	SEMI-COMPACTA	27.8	Arena limosa	SM
		6.35			14					color café claro	
		6.50				10					
14.0	7.0	6.70	18	13			29	SEMI-COMPACTA	25.8		
		6.85			10					" " "	
		7.00				19					
	7.5	7.20		27			98	MUY COMPACTA			PP
		7.35			52					Penetración con punta cónica.	
		7.50				46					

**INGMAC S.A. DE C.V.**  
Control de Calidad-Construcción-Supervisión  
Tel. 2523-4383



# INGENIERÍA DE MATERIALES Y CONSTRUCCIÓN S.A. DE C.V.

## Control de Calidad - Construcción - Supervisión

Col. Santa Matilde C. Castro Moran y C. Las Mercedes No. 91, Final Avenida Bernal, Mejicanos,  
San Salvador, El Salvador. Tel.: (503) 2523-4383 / Cel. (503) 7477-9865  
ingenieriademateriales@yahoo.com

### REGISTRO DE CAMPO - EXPLORACION SUBSUPERFICIAL

SONDEO No.: **3**

Hoja: **1 / 2**

Proyecto: **U. C. S. F. INTERRMEDIA SANTIAGO TEXACUANGOS** Fecha: **21/01/2020**  
Localización: **C. Ilopango # 9, Bo. Concepción, T. anexo al Polideportivo de Santiago Texacuangos** Departamento: **San Salvador**  
Codigo: **ES0620200121-12** Herramienta de Avance: **PENETRACION ESTANDAR** Herramienta de Muestreo: **CUCHARA PARTIDA**  
Peso del Martillo: **140 lb** Altura de Caída: **30 pulg** Estructura: **Varias** Nivel Freático: **N/A**  
Cuadrilla: **Aguilar - Nolasco - Rodriguez** Elev. Brocal: **000.0**

MUESTRA No.	PROF. (m)	PROF. ACUM (m)	RESISTENCIA A LA PENETRACION RECUPE- RACION (cm)	SET 1 (20cm)	SET 2 (15cm)	SET 3 (15cm)	N	CONSISTENCIA O COMPACIDAD RELATIVA	HUMEDAD (%)	CLASIFICACION	SIMBO-LOGIA
1.0	0.5	0.20 0.35 0.50	26	15	11	7	18	SEMI-COMPACTA	12.6	Arena limosa color café claro	SM
2.0	1.0	0.70 0.85 1.00	28	7	6	5	11	SEMI-COMPACTA	21.0	" " "	
3.0	1.5	1.20 1.35 1.50	33	6	4	4	8	SUELTO	25.2	" " "	
4.0	2.0	1.70 1.85 2.00	25	5	5	3	8	SUELTO	37.5	" " "	
5.0	2.5	2.20 2.35 2.50	28	6	5	5	10	SUELTO	34.1	" " "	
6.0	3.0	2.70 2.85 3.00	24	8	9	8	17	SEMI-COMPACTA	28.4	" " "	
7.0	3.5	3.20 3.35 3.50	35	13	12	10	22	SEMI-COMPACTA	24.4	" " "	
8.0	4.0	3.70 3.85 4.00	24	15	9	9	18	SEMI-COMPACTA	24.6	Arena mal graduada con rastros de limos color café claro	SP-SM
9.0	4.5	4.20 4.35 4.50	32	15	13	19	32	COMPACTA	26.2	" " "	
10.0	5.0	4.70 4.85 5.00	29	14	9	10	19	SEMI-COMPACTA	15.9	Arena limosa color café claro	
11.0	5.5	5.20 5.35 5.50	29	17	20	20	40	COMPACTA	23.0	" " "	SM
12.0	6.0	5.70 5.85 6.00	28	22	21	17	38	COMPACTA	20.8	" " "	
										" " "	

ES0620200121-12.V1

**INGMAC S.A. DE C.V.**  
Control de Calidad - Construcción - Supervisión  
Tel. 2523-4383

32 DE 76



# INGENIERÍA DE MATERIALES Y CONSTRUCCIÓN S.A. DE C.V.

## Control de Calidad - Construcción - Supervisión

Col. Santa Matilde C. Castro Moran y C. Las Mercedes No. 91, Final Avenida Bernal, Mejicanos,  
San Salvador, El Salvador. Tel.: (503) 2523-4383 / Cel. (503) 7477-9865  
ingenieriademateriales@yahoo.com

### REGISTRO DE CAMPO - EXPLORACION SUBSUPERFICIAL

SONDEO No.: **3**

Hoja: **2 / 2**

Proyecto: **U. C. S. F. INTERMEDIA SANTIAGO TEXACUANGOS** Fecha: **21/01/2020**  
Localización: **C. Ilopango # 9, Bo. Concepción, T. anexo al Polideportivo de Santiago Texacuangos** Departamento: **San Salvador**  
Codigo: **ES0620200121-12** Herramienta de Avance: **PENETRACION ESTANDAR** Herramienta de Muestreo: **CUCHARA PARTIDA**  
Peso del Martillo: **140 lb** Altura de Caída: **30 pulg** Estructura: **Varias** Nivel Freático: **N/A**  
Cuadrilla: **Aguilar - Nolasco - Rodriguez** Elev. Brocal: **000.0**

MUESTRA No.	PROF. (m)	PROF. ACUM (m)	RESISTENCIA A LA PENETRACION				N	CONSISTENCIA O COMPACIDAD RELATIVA	HUMEDAD (%)	CLASIFICACION	SIMBOLOGIA
			RECUPERACION (cm)	SET 1 (20cm)	SET 2 (15cm)	SET 3 (15cm)					
13.0	6.5	6.20	27	30			75	MUY COMPACTA	25.3	Arena limosa	SM
		6.35			39					color café claro	
		6.50				36					
	7.0	6.70		42			81	MUY COMPACTA			PP
		6.85			40					Penetración con punta cónica.	
		7.00				41					

**INGMAC S.A. DE C.V.**  
Control de Calidad - Construcción - Supervisión  
Tel. 2523-4383



# INGENIERÍA DE MATERIALES Y CONSTRUCCIÓN S.A. DE C.V.

## Control de Calidad - Construcción - Supervisión

Col. Santa Matilde C. Castro Moran y C. Las Mercedes No. 91, Final Avenida Bernal, Mejicanos,  
San Salvador, El Salvador. Tel.: (503) 2523-4383 / Cel. (503) 7477-9865  
ingenieriademateriales@yahoo.com

### REGISTRO DE CAMPO - EXPLORACION SUBSUPERFICIAL

SONDEO No.: 4

Hoja: 1 / 2

Proyecto: U. C. S. F. INTERRMEDIA SANTIAGO TEXACUANGOS Fecha: 22/01/2020  
Localización: C. Ilopango # 9, Bo. Concepción, T. anexo al Polideportivo de Santiago Texacuangos Departamento: San Salvador  
Codigo: ES0620200121-12 Herramienta de Avance: PENETRACION ESTANDAR Herramienta de Muestreo: CUCHARA PARTIDA  
Peso del Martillo: 140 lb Altura de Caída: 30 pulg Estructura: Varias Nivel Freático: N/A  
Cuadrilla: Aguilar - Nolasco - Rodriguez Elev. Brocal: 000.0

MUESTRA No.	PROF. (m)	PROF. ACUM (m)	RESISTENCIA A LA PENETRACION				N	CONSISTENCIA O COMPACIDAD RELATIVA	HUMEDAD (%)	CLASIFICACION	SIMBOLOGIA
			RECUPERACION (cm)	SET 1 (20cm)	SET 2 (15cm)	SET 3 (15cm)					
1.0	0.5	0.20	14	9			18	SEMI-COMPACTA	16.7	Arena limosa	SM
		0.35			12					color café claro	
		0.50				6					
2.0	1.0	0.70	10	9			11	SEMI-COMPACTA	27.3	" " "	
		0.85			7						
		1.00				4					
3.0	1.5	1.20	13	6			6	SUELTO	22.4	" " "	
		1.35			3						
		1.50				3					
4.0	2.0	1.70	11	2			4	MUY SUELTO	33.2	" " "	
		1.85			2						
		2.00				2					
5.0	2.5	2.20	24	3			8	SUELTO	33.2	" " "	
		2.35			4						
		2.50				4					
6.0	3.0	2.70	17	6			8	SUELTO	30.2	" " "	
		2.85			4						
		3.00				4					
7.0	3.5	3.20	18	5			8	SUELTO	30.7	" " "	
		3.35			4						
		3.50				4					
8.0	4.0	3.70	19	9			12	SEMI-COMPACTA	30.8	" " "	
		3.85			5						
		4.00				7					
9.0	4.5	4.20	17	7			17	SEMI-COMPACTA	24.7	" " "	
		4.35			10						
		4.50				7					
10.0	5.0	4.70	31	15			26	SEMI-COMPACTA	24.5	" " "	
		4.85			12						
		5.00				14					
11.0	5.5	5.20	16	24			37	COMPACTA	21.6	" " "	
		5.35			19						
		5.50				18					
12.0	6.0	5.70	17	24			29	SEMI-COMPACTA	23.5	" " "	
		5.85			16						
		6.00				13					

INGMAC S.A. DE C.V.

Control de Calidad Construcción-Supervisión

Tel. 2523-4383

24 DE 76

ES0620200121-12.V1

34 DE 76

INGMAC S.A. DE C.V.  
Control de Calidad - Construcción - Supervisión  
Tel. 2523-4383



# INGENIERÍA DE MATERIALES Y CONSTRUCCIÓN S.A. DE C.V.

## Control de Calidad - Construcción - Supervisión

Col. Santa Matilde C. Castro Moran y C. Las Mercedes No. 91, Final Avenida Bernal, Mejicanos,  
San Salvador, El Salvador. Tel.: (503) 2523-4383 / Cel. (503) 7477-9865  
ingenieriademateriales@yahoo.com

### REGISTRO DE CAMPO - EXPLORACION SUBSUPERFICIAL

SONDEO No.: **4**

Hoja: **2 / 2**

Proyecto: **U. C. S. F. INTERRMEDIA SANTIAGO TEXACUANGOS** Fecha: **22/01/2020**  
Localización: **C. Ilopango # 9, Bo. Concepción, T. anexo al Polideportivo de Santiago Texacuangos** Departamento: **San Salvador**  
Codigo: **ES0620200121-12** Herramienta de Avance: **PENETRACION ESTANDAR** Herramienta de Muestreo: **CUCHARA PARTIDA**  
Peso del Martillo: **140 lb** Altura de Caída: **30 pulg** Estructura: **Varias** Nivel Freático: **N/A**  
Cuadrilla: **Aguilar - Nolasco - Rodriguez** Elev. Brocal: **000.0**

MUESTRA No.	PROF. (m)	PROF. ACUM (m)	RESISTENCIA A LA PENETRACION				N	CONSISTENCIA O COMPACIDAD RELATIVA	HUMEDAD (%)	CLASIFICACION	SIMBOLOGIA
			RECUPERACION (cm)	SET 1 (20cm)	SET 2 (15cm)	SET 3 (15cm)					
13.0	6.5	6.20	20	25			37	COMPACTA	18.3	Arena limosa	SM
		6.35			16					color café claro	
		6.50				21					
14.0	7.0	6.70	18	23			34	COMPACTA	22.8		SM
		6.85			17					" " "	
		7.00				17					
15.0	7.5	0.20	15	29			51	MUY COMPACTA	15.3	Arena mal graduada con rastros de limos	SP-SM
		0.35			24					color café claro	
		0.50				27					
	8.0	0.20		44			94	MUY COMPACTA			PP
		0.35			54					Penetración con punta cónica.	
		0.50				40					
	8.5	0.20		60			98	MUY COMPACTA			PP
		0.35			58					" " "	
		0.50				40					

**INGMA S.A. DE C.V.**  
Control de Calidad - Construcción - Supervisión  
Tel. 2523-4383



# INGENIERÍA DE MATERIALES Y CONSTRUCCIÓN S.A. DE C.V.

## Control de Calidad - Construcción - Supervisión

Col. Santa Matilde C. Castro Moran y C. Las Mercedes No. 91, Final Avenida Bernal, Mejicanos,  
San Salvador, El Salvador. Tel.: (503) 2523-4383 / Cel. (503) 7477-9865  
ingenieriademateriales@yahoo.com

### REGISTRO DE CAMPO - EXPLORACION SUBSUPERFICIAL

SONDEO No.: 5

Hoja: 1 / 1

Proyecto: U. C. S. F. INTERMEDIA SANTIAGO TEXACUANGOS Fecha: 26/01/2020  
Localización: C. Ilopango # 9, Bo. Concepción, T. anexo al Polideportivo de Santiago Texacuangos Departamento: San Salvador  
Codigo: ES0620200121-12 Herramienta de Avance: PENETRACION ESTANDAR Herramienta de Muestreo: CUCHARA PARTIDA  
Peso del Martillo: 140 lb Altura de Caída: 30 pulg Estructura: Varias Nivel Freático: N/A  
Cuadrilla: Aguilar - Nolasco - Rodriguez Elev. Brocal: 000.0

MUESTRA No.	PROF. (m)	PROF. ACUM (m)	RESISTENCIA A LA PENETRACION				N	CONSISTENCIA O COMPACIDAD RELATIVA	HUMEDAD (%)	CLASIFICACION	SIMBOLOGIA
			RECUPERACION (cm)	SET 1 (20cm)	SET 2 (15cm)	SET 3 (15cm)					
1.0	0.5	0.20	12	5			13	SEMI-COMPACTA	11.0	Arena limosa	SM
		0.35			7					color café claro	
		0.50				6					
2.0	1.0	0.70	24	9			21	SEMI-COMPACTA	21.9	" " "	
		0.85			12						
		1.00				9					
3.0	1.5	1.20	15	10			16	DURA	12.5	Limo arenoso	
		1.35			8					color café claro	
		1.50				8					
4.0	2.0	1.70	14	4			8	MEDIA	25.2	" " "	ML
		1.85			3						
		2.00				5					
5.0	2.5	2.20	14	8			15	FIRME	20.8	" " "	
		2.35			7						
		2.50				8					
6.0	3.0	2.70	15	11			15	SEMI-COMPACTA	19.7	Arena limosa	
		2.85			6					color café claro	
		3.00				9					
7.0	3.5	3.20	12	11			16	SEMI-COMPACTA	17.0	" " "	SM
		3.35			8						
		3.50				8					
8.0	4.0	3.70	10	10			26	SEMI-COMPACTA	18.2	" " "	
		3.85			12						
		4.00				14					
9.0	4.5	4.20	12	21			53	MUY COMPACTA	15.2	" " "	
		4.35			24						
		4.50				29					
	5.0	4.70		42			62	MUY COMPACTA		Penetración con punta cónica.	
		4.85			32						
		5.00				30					
	5.5	5.20		46			74	MUY COMPACTA		"	PP
		5.35			34						
		5.50				40					
	6.0	5.70		54			R	MUY COMPACTA			
		5.85			46						
		6.00				R					

ES0620200121-12.V1

36 DE 76

**INGMAC S.A. DE C.V.**  
Control de Calidad - Construcción - Supervisión  
Tel. 2523-4383



# INGENIERÍA DE MATERIALES Y CONSTRUCCIÓN S.A. DE C.V.

## Control de Calidad - Construcción - Supervisión

Col. Santa Matilde C. Castro Moran y C. Las Mercedes No. 91, Final Avenida Bernal, Mejicanos,  
San Salvador, El Salvador. Tel.: (503) 2523-4383 / Cel. (503) 7477-9865  
ingenieriademateriales@yahoo.com

### REGISTRO DE CAMPO - EXPLORACION SUBSUPERFICIAL

SONDEO No.: 6

Hoja: 1 / 2

Proyecto: U. C. S. F. INTERMEDIA SANTIAGO TEXACUANGOS Fecha: 21/01/2020  
Localización: C. Ilopango # 9, Bo. Concepción, T. anexo al Polideportivo de Santiago Texacuangos Departamento: San Salvador  
Codigo: ES0620200121-12 Herramienta de Avance: PENETRACION ESTANDAR Herramienta de Muestreo: CUCHARA PARTIDA  
Peso del Martillo: 140 lb Altura de Caída: 30 pulg Estructura: Varias Nivel Freático: N/A  
Cuadrilla: Aguilar - Nolasco - Rodriguez Elev. Brocal: 000.0

MUESTRA No.	PROF. (m)	PROF. ACUM (m)	RESISTENCIA A LA PENETRACION				N	CONSISTENCIA O COMPACIDAD RELATIVA	HUMEDAD (%)	CLASIFICACION	SIMBOLOGIA
			RECUPERACION (cm)	SET 1 (20cm)	SET 2 (15cm)	SET 3 (15cm)					
1.0	0.5	0.20	15	12			14	SEMI-COMPACTA	13.5	Arena limosa	
		0.35			7					color café claro	
		0.50				7					
2.0	1.0	0.70	30	8			14	SEMI-COMPACTA	24.3		
		0.85			6					" " "	
		1.00				8					
3.0	1.5	1.20	31	8			18	SEMI-COMPACTA	22.4		
		1.35			9					" " "	
		1.50				9					
4.0	2.0	1.70	27	11			20	SEMI-COMPACTA	18.5		
		1.85			10					" " "	
		2.00				10					
5.0	2.5	2.20	34	14			20	SEMI-COMPACTA	23.3		
		2.35			10					" " "	
		2.50				10					
6.0	3.0	2.70	33	16			35	COMPACTA	23.2		
		2.85			15					" " "	
		3.00				20					
7.0	3.5	3.20	29	27			29	SEMI-COMPACTA	18.8		
		3.35			14					" " "	
		3.50				15					
8.0	4.0	3.70	31	17			31	COMPACTA	19.6		
		3.85			13					" " "	
		4.00				18					
9.0	4.5	4.20	18	21			32	COMPACTA	20.6		
		4.35			16					" " "	
		4.50				16					
10.0	5.0	4.70	19	19			28	SEMI-COMPACTA	19.3		
		4.85			14					" " "	
		5.00				14					
11.0	5.5	5.20	20	19			31	COMPACTA	20.6		
		5.35			15					" " "	
		5.50				16					
12.0	6.0	5.70	23	20			39	COMPACTA	21.3		
		5.85			21					" " "	
		6.00				18					

ES0620200121-12.V1

37 DE 76

**INGMAC S.A. DE C.V.**  
Control de Calidad - Construcción - Supervisión  
Tel. 2523-4383



# INGENIERÍA DE MATERIALES Y CONSTRUCCIÓN S.A. DE C.V.

## Control de Calidad - Construcción - Supervisión

Col. Santa Matilde C. Castro Moran y C. Las Mercedes No. 91, Final Avenida Bernal, Mejicanos,

San Salvador, El Salvador. Tel.: (503) 2523-4383 / Cel. (503) 7477-9865

ingenieriademateriales@yahoo.com

### REGISTRO DE CAMPO - EXPLORACION SUBSUPERFICIAL

SONDEO No.: **6**

Hoja: **2 / 2**

Proyecto: **U. C. S. F. INTERRMEDIA SANTIAGO TEXACUANGOS** Fecha: **21/01/2020**  
 Localización: **C. Ilopango # 9, Bo. Concepción, T. anexo al Polideportivo de Santiago Texacuangos** Departamento: **San Salvador**  
 Código: **ES0620200121-12** Herramienta de Avance: **PENETRACION ESTANDAR** Herramienta de Muestreo: **CUCHARA PARTIDA**  
 Peso del Martillo: **140 lb** Altura de Caída: **30 pulg** Estructura: **Varias** Nivel Freático: **N/A**  
 Cuadrilla: **Aguilar - Nolasco - Rodriguez** Elev. Brocal: **000.0**

MUESTRA No.	PROF. (m)	PROF. ACUM (m)	RESISTENCIA A LA PENETRACION				N	CONSISTENCIA O COMPACIDAD RELATIVA	HUMEDAD (%)	CLASIFICACION	SIMBOLOGIA
			RECUPERACION (cm)	SET 1 (20cm)	SET 2 (15cm)	SET 3 (15cm)					
13.0	6.5	6.20	21	19			41	COMPACTA	22.1	Arena limosa	SM
		6.35			18					color café claro	
		6.50				23					
14.0	7.0	6.70	25	21			51	MUY COMPACTA	18.4		
		6.85			20					" " "	
		7.00				31					
	7.5	0.20		32			64	MUY COMPACTA		Penetración con punta cónica.	
		0.35			34						
		0.50				30					
	8.0	0.20		32			74	MUY COMPACTA		" " "	PP
		0.35			34						
		0.50				40					
	8.5	0.20		42			108	MUY COMPACTA		" " "	
		0.35			42						
		0.50				66					

**INGMAC S.A. DE C.V.**  
 Control de Calidad - Construcción - Supervisión  
 Tel. 2523-4383



# INGENIERÍA DE MATERIALES Y CONSTRUCCIÓN S.A. DE C.V.

## Control de Calidad - Construcción - Supervisión

Col. Santa Matilde C. Castro Moran y C. Las Mercedes No. 91, Final Avenida Bernal, Mejicanos,  
San Salvador, El Salvador. Tel.: (503) 2523-4383 / Cel. (503) 7477-9865  
ingenieriademateriales@yahoo.com

### REGISTRO DE CAMPO - EXPLORACION SUBSUPERFICIAL

SONDEO No.: 7

Hoja: 1 / 2

Proyecto: U. C. S. F. INTERRMEDIA SANTIAGO TEXACUANGOS Fecha: 21/01/2020  
Localización: C. Ilopango # 9, Bo. Concepción, T. anexo al Polideportivo de Santiago Texacuangos Departamento: San Salvador  
Codigo: ES0620200121-12 Herramienta de Avance: PENETRACION ESTANDAR Herramienta de Muestreo: CUCHARA PARTIDA  
Peso del Martillo: 140 lb Altura de Caída: 30 pulg Estructura: Varias Nivel Freático: N/A  
Cuadrilla: Aguilar - Nolasco - Rodriguez Elev. Brocal: 000.0

MUESTRA No.	PROF. (m)	PROF. ACUM (m)	RESISTENCIA A LA PENETRACION RECUPE- RACION (cm)	SET 1 (20cm)	SET 2 (15cm)	SET 3 (15cm)	N	CONSISTENCIA O COMPACIDAD RELATIVA	HUMEDAD (%)	CLASIFICACION	SIMBO- LOGIA
1.0	0.5	0.20 0.35 0.50	25	8	13	9	22	SEMI-COMPACTA	13.6	Arena limosa color café claro	
2.0	1.0	0.70 0.85 1.00	23	6	4	5	9	SUELTO	25.2	" " "	
3.0	1.5	1.20 1.35 1.50	19	5	3	3	6	SUELTO	32.0	" " "	
4.0	2.0	1.70 1.85 2.00	24	5	2	2	4	MUY SUELTO	29.2	" " "	
5.0	2.5	2.20 2.35 2.50	20	2	3	3	6	SUELTO	32.0	" " "	
6.0	3.0	2.70 2.85 3.00	26	6	4	5	9	SUELTO	32.2	" " "	
7.0	3.5	3.20 3.35 3.50	23	6	4	5	9	SUELTO	36.7	" " "	
8.0	4.0	3.70 3.85 4.00	24	6	5	6	11	SEMI-COMPACTA	30.1	" " "	
9.0	4.5	4.20 4.35 4.50	8	9	8	9	17	SEMI-COMPACTA	28.0	" " "	
10.0	5.0	4.70 4.85 5.00	17	14	10	10	20	SEMI-COMPACTA	26.4	" " "	
11.0	5.5	5.20 5.35 5.50	18	13	8	12	20	SEMI-COMPACTA	26.2	" " "	
12.0	6.0	5.70 5.85 6.00	14	17	16	16	32	COMPACTA	27.6	" " "	

SM

INGMAC S.A. DE C.V.  
Control de Calidad - Construcción - Supervisión  
Tel: 2523-4383

ES0620200121-12.V1

39 DE 76



# INGENIERÍA DE MATERIALES Y CONSTRUCCIÓN S.A. DE C.V.

## Control de Calidad - Construcción - Supervisión

Col. Santa Matilde C. Castro Moran y C. Las Mercedes No. 91, Final Avenida Bernal, Mejicanos,  
San Salvador, El Salvador. Tel.: (503) 2523-4383 / Cel. (503) 7477-9865  
ingenieriademateriales@yahoo.com

### REGISTRO DE CAMPO - EXPLORACION SUBSUPERFICIAL

SONDEO No.: 7

Hoja: 2 / 2

Proyecto: U. C. S. F. INTERRMEDIA SANTIAGO TEXACUANGOS Fecha: 21/01/2020  
Localización: C. Ilopango # 9, Bo. Concepción, T. anexo al Polideportivo de Santiago Texacuangos Departamento: San Salvador  
Codigo: ES0620200121-12 Herramienta de Avance: PENETRACION ESTANDAR Herramienta de Muestreo: CUCHARA PARTIDA  
Peso del Martillo: 140 lb Altura de Caída: 30 pulg Estructura: Varias Nivel Freático: N/A  
Cuadrilla: Aguilar - Nolasco - Rodriguez Elev. Brocal: 000.0

MUESTRA No.	PROF. (m)	PROF. ACUM (m)	RESISTENCIA A LA PENETRACION				N	CONSISTENCIA O COMPACIDAD RELATIVA	HUMEDAD (%)	CLASIFICACION	SIMBOLOGIA
			RECUPE- RACION (cm)	SET 1 (20cm)	SET 2 (15cm)	SET 3 (15cm)					
13.0	6.5	6.20	16	18			40	MUY DURA	19.5	Limo arenoso	ML
		6.35			18					color café claro	
		6.50				22					
14.0	7.0	6.70	14	31			63	MUY DURA	23.9		ML
		6.85			37					" " "	
		7.00				26					
	7.5	0.20		48			R	MUY DURA			PP
		0.35			78					Penetración con punta cónica.	
		0.50				R					

**INGMAC S.A. DE C.V.**  
Control de Calidad - Construcción - Supervisión  
Tel. 2523-4383



# INGENIERÍA DE MATERIALES Y CONSTRUCCIÓN S.A. DE C.V.

## Control de Calidad - Construcción - Supervisión

Col. Santa Matilde C. Castro Moran y C. Las Mercedes No. 91, Final Avenida Bernal, Mejicanos,  
San Salvador, El Salvador. Tel.: (503) 2523-4383 / Cel. (503) 7477-9865  
ingenieriademateriales@yahoo.com

### REGISTRO DE CAMPO - EXPLORACION SUBSUPERFICIAL

SONDEO No.: **8**

Hoja: **1 / 2**

Proyecto: **U. C. S. F. INTERRMEDIA SANTIAGO TEXACUANGOS** Fecha: **22/01/2020**  
Localización: **C. Ilopango # 9, Bo. Concepción, T. anexo al Polideportivo de Santiago Texacuanguos** Departamento: **San Salvador**  
Codigo: **ES0620200121-12** Herramienta de Avance: **PENETRACION ESTANDAR** Herramienta de Muestreo: **CUCHARA PARTIDA**  
Peso del Martillo: **140 lb** Altura de Caída: **30 pulg** Estructura: **Varias** Nivel Freático: **N/A**  
Cuadrilla: **Aguilar - Nolasco - Rodriguez** Elev. Brocal: **000.0**

MUESTRA No.	PROF. (m)	PROF. ACUM (m)	RESISTENCIA A LA PENETRACION				N	CONSISTENCIA O COMPACIDAD RELATIVA	HUMEDAD (%)	CLASIFICACION	SIMBOLOGIA
			RECUPERACION (cm)	SET 1 (20cm)	SET 2 (15cm)	SET 3 (15cm)					
1.0	0.5	0.20	17	4			8	SUELTO	22.4	Arena limosa	SM
		0.35			4					color café claro	
		0.50				4					
2.0	1.0	0.70	17	15			10	SUELTO	31.8	Limo arenoso	ML
		0.85			5					color café claro	
		1.00				5					
3.0	1.5	1.20	25	12			21	SEMI-COMPACTA	24.1	Arena limosa	SM
		1.35			12					color café claro	
		1.50				9					
4.0	2.0	1.70	34	10			25	SEMI-COMPACTA	22.4	" " "	
		1.85			12						
		2.00				13					
5.0	2.5	2.20	26	17			22	SEMI-COMPACTA	24.5	" " "	
		2.35			13						
		2.50				9					
6.0	3.0	2.70	24	14			28	SEMI-COMPACTA	23.7	" " "	
		2.85			14						
		3.00				14					
7.0	3.5	3.20	24	20			28	SEMI-COMPACTA	22.0	" " "	
		3.35			15						
		3.50				13					
8.0	4.0	3.70	22	22			30	SEMI-COMPACTA	19.4	" " "	
		3.85			16						
		4.00				14					
9.0	4.5	4.20	14	18			27	SEMI-COMPACTA	18.0	" " "	
		4.35			12						
		4.50				15					
10.0	5.0	4.70	20	19			30	SEMI-COMPACTA	20.7	" " "	
		4.85			13						
		5.00				17					
11.0	5.5	5.20	19	26			43	COMPACTA	16.6	" " "	
		5.35			23						
		5.50				20					
12.0	6.0	5.70	22	20			50	COMPACTA	19.7	" " "	
		5.85			24						
		6.00				26					

ES0620200121-12.V1

41 DE 70

INGMAC S.A. DE C.V.  
Control de Calidad - Construcción - Supervisión  
Tel. 2523-4383



# INGENIERÍA DE MATERIALES Y CONSTRUCCIÓN S.A. DE C.V.

## Control de Calidad - Construcción - Supervisión

Col. Santa Matilde C. Castro Moran y C. Las Mercedes No. 91, Final Avenida Bernal, Mejicanos,  
San Salvador, El Salvador. Tel.: (503) 2523-4383 / Cel. (503) 7477-9865  
ingenieriademateriales@yahoo.com

### REGISTRO DE CAMPO - EXPLORACION SUBSUPERFICIAL

SONDEO No.: **8**

Hoja: **2 / 2**

Proyecto: **U. C. S. F. INTERMEDIA SANTIAGO TEXACUANGOS** Fecha: **22/01/2020**  
Localización: **C. Ilopango # 9, Bo. Concepción, T. anexo al Polideportivo de Santiago Texacuangos** Departamento: **San Salvador**  
Codigo: **ES0620200121-12** Herramienta de Avance: **PENETRACION ESTANDAR** Herramienta de Muestreo: **CUCHARA PARTIDA**  
Peso del Martillo: **140 lb** Altura de Caída: **30 pulg** Estructura: **Varias** Nivel Freático: **N/A**  
Cuadrilla: **Aguilar - Nolasco - Rodriguez** Elev. Brocal: **000.0**

MUESTRA No.	PROF.	PROF. ACUM	RESISTENCIA A LA PENETRACION				N	CONSISTENCIA O COMPACIDAD RELATIVA	HUMEDAD  (%)	CLASIFICACION	SIMBO LOGIA	
			RECUPE- RACION	SET 1	SET 2	SET 3						
	(m)	(m)	(cm)	(20cm)	(15cm)	(15cm)						
	6.5	6.20		48			78	MUY COMPACTA			PP	
		6.35			38							Penetración con punta cónica.
		6.50				40						
	7.0	6.70		29			106	MUY COMPACTA				
		6.85			52							" " "
		7.00				54						

**INGMAC S.A. DE C.V.**  
Control de Calidad - Construcción - Supervisión  
Tel. 2523-4383



**ANEXO 2**  
**ESQUEMA DE UBICACIÓN DE SONDEOS**



**ANEXO 3  
PERFIL ESTRATIGRÁFICOS**

**INGMAC S.A. DE C.V.**  
Control de Calidad - Construcción - Supervisión  
Tel. 2523-4383



**ANEXO 4  
REGISTRO FOTOGRÁFICO**





**Fotografía A.4.1.:**

**Área donde se realizó el Sondeo 1.**



**Fotografía A.4.2.:**

**Perforación en área del Sondeo 2.  
Tubería de PVC instalada para ensayo  
de permeabilidad.**





Fotografía A.4.3.:

Muestra obtenida con la cuchara partida, en Sondeo 2.



Fotografía A.4.4.:

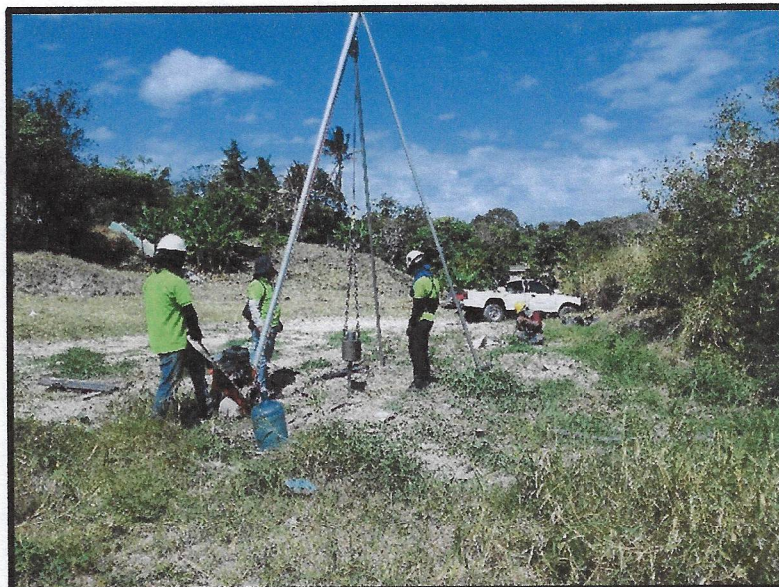
Perforación en área de Sondeo 3.





**Fotografía A.4.5.:**

**Cuchara partida con muestra obtenida en área de Sondeo 3.**



**Fotografía A.4.6.:**

**Área de Sondeo 4, extracción de cuchara partida con martillo de 140.0 libras.**





**Fotografía A.4.7.:**

**Perforación sobre cabeza de talud,  
área de Sondeo 5.**



**Fotografía A.4.8.:**

**Muestra de suelo obtenida en  
área de Sondeo 5.**





**Fotografía A.4.9.:**

**Hinca de la cuchara partida en área del sondeo 6, con el martillo de 140 libras.**



**Fotografía A.4.10.:**

**Muestra obtenida en área del Sondeo 6, con la cuchara partida.**





Fotografía A.4.11.:

Perforación en área del sondeo 7.



Fotografía A.4.12.:

Muestra con cuchara partida en Sondeo 7.





Fotografía A.4.13.:

Caída libre de martillo de 140.0 libras,  
en área de Sondeo 8.



Fotografía A.4.14.:

Muestra de suelo en área de Sondeo 8.





**Fotografía A.4.15.:**

**Instalación de tubería de PVC para ensayo de permeabilidad in situ.**



**Fotografía A.4.16.:**

**Ensayo de permeabilidad in situ.**